



TEORIA E TECNICA DELLE ONDE ELETTROMAGNETICHE
PROPAGAZIONE RADIATA E PROPAGAZIONE GUIDATA

Lezione IV
Dipolo elettrico corto
Dal potenziale ai campi


LEZIONE IV
DIPOLO ELETTRICO CORTO
DAL POTENZIALE AI CAMPI

Corso di
“Teoria e tecnica delle onde elettromagnetiche”

Prof. Giuseppe Pelosi
Dipartimento di Elettronica e Telecomunicazioni
Università di Firenze
e-mail: giuseppe.pelosi@unifi.it
web: <http://www.cem.unifi.it/>

Teoria e Tecnica delle Onde Elettromagnetiche - Propagazione radiata e propagazione guidata
Prof. G. Pelosi, Laboratorio di Elettromagnetismo Numerico
Dipartimento di Elettronica e Telecomunicazioni - Università di Firenze

1/18



TEORIA E TECNICA DELLE ONDE ELETTROMAGNETICHE
PROPAGAZIONE RADIATA E PROPAGAZIONE GUIDATA

Lezione IV
Dipolo elettrico corto
Dal potenziale ai campi

Il potenziale vettore associato al dipolo elementare è dunque

$$\mathbf{A}(\mathbf{r}) = A_z(r) \hat{z} = \frac{\mu}{4\pi} \frac{I \Delta z}{r} e^{-jkr} \hat{z}$$


Dal potenziale ai campi elettromagnetici

$$\mathbf{E} = -j\omega \mathbf{A} + \frac{\nabla \nabla \cdot \mathbf{A}}{j\omega \epsilon \mu}$$

$$\mathbf{H} = \frac{1}{\mu} \nabla \times \mathbf{A}$$

Teoria e Tecnica delle Onde Elettromagnetiche - Propagazione radiata e propagazione guidata
Prof. G. Pelosi, Laboratorio di Elettromagnetismo Numerico
Dipartimento di Elettronica e Telecomunicazioni - Università di Firenze

2/18



Teoria e Tecnica delle Onde Elettromagnetiche - Propagazione radiata e propagazione guidata
Prof. G. Pelosi, Laboratorio di Elettromagnetismo Numerico
Dipartimento di Elettronica e Telecomunicazioni - Università di Firenze

TEORIA E TECNICA DELLE ONDE ELETTROMAGNETICHE
PROPAGAZIONE RADIATA E PROPAGAZIONE GUIDATA

Lezione IV
Dipolo elettrico corto
Dal potenziale ai campi

CAMPO ELETTRICO

Riscriviamo il potenziale vettore in coordinate sferiche e ricordando che è diversa da zero solo la componente lungo zeta si ha:

$$\mathbf{A}(r, \theta, \phi) = \mathbf{A}(r, \theta) = A_z(r) \cos \theta \hat{r} - A_z(r) \sin \theta \hat{\theta} =$$

$$= \left[\frac{\mu}{4\pi} \frac{I \Delta z}{r} e^{-jkr} \right] \cos \theta \hat{r} - \left[\frac{\mu}{4\pi} \frac{I \Delta z}{r} e^{-jkr} \right] \sin \theta \hat{\theta} = A_r(r, \theta) \hat{r} + A_\theta(r, \theta) \hat{\theta}$$


I singoli termini possono essere scritti come segue:

$$A_r(r, \theta) = A_z(r) \cos \theta = \left[\frac{\mu}{4\pi} \frac{I \Delta z}{r} e^{-jkr} \right] \cos \theta$$

$$A_\theta(r, \theta) = -A_z(r) \sin \theta = - \left[\frac{\mu}{4\pi} \frac{I \Delta z}{r} e^{-jkr} \right] \sin \theta$$

$$A_\phi = 0$$

3/18



Teoria e Tecnica delle Onde Elettromagnetiche - Propagazione radiata e propagazione guidata
Prof. G. Pelosi, Laboratorio di Elettromagnetismo Numerico
Dipartimento di Elettronica e Telecomunicazioni - Università di Firenze

TEORIA E TECNICA DELLE ONDE ELETTROMAGNETICHE
PROPAGAZIONE RADIATA E PROPAGAZIONE GUIDATA

Lezione IV
Dipolo elettrico corto
Dal potenziale ai campi

CAMPO ELETTRICO

$$\nabla \cdot \mathbf{A} = \frac{1}{r^2} \frac{\partial}{\partial r} (r^2 A_r) + \frac{1}{r \sin \theta} \frac{\partial}{\partial \theta} (A_\theta \sin \theta) + \underbrace{\frac{1}{r \sin \theta} \frac{\partial}{\partial \phi} A_\phi}_{=0}$$

Riscriviamo la divergenza in coordinate sferiche

$$= \underbrace{\frac{1}{r^2} \frac{\partial}{\partial r} [r^2 A_r(r, \theta)]}_* + \underbrace{\frac{1}{r \sin \theta} \frac{\partial}{\partial \theta} [A_\theta(r, \theta) \sin \theta]}_{**}$$


Sostituiamo le precedenti espressioni del potenziale vettore secondo r e θ otteniamo:

$$*) \quad - \frac{\mu}{4\pi} I \Delta z e^{-jkr} \left(\frac{jk}{r} - \frac{1}{r^2} \right) \cos \theta$$

$$**) \quad \frac{\mu}{4\pi} I \Delta z e^{-jkr} \frac{2}{r} \cos \theta$$

$$\nabla \cdot \mathbf{A} = - \frac{\mu}{4\pi} I \Delta z e^{-jkr} \left(\frac{jk}{r} + \frac{1}{r^2} \right) \cos \theta$$

4/18



Teoria e Tecnica delle Onde Elettromagnetiche - Propagazione radiata e propagazione guidata
Prof. G. Pelosi, Laboratorio di Elettromagnetismo Numerico
Dipartimento di Elettronica e Telecomunicazioni - Università di Firenze

Lezione IV
Dipolo elettrico corto
Dal potenziale ai campi

CAMPO ELETTRICO

Riscriviamo anche il gradiente della divergenza in coordinate sferiche ricordando la non dipendenza da ϕ

$$\nabla(\nabla \cdot \mathbf{A}) = \nabla g = \frac{\partial g}{\partial r} \hat{r} + \frac{1}{r} \frac{\partial g}{\partial \theta} \hat{\theta} + \underbrace{\frac{1}{r \sin \theta} \frac{\partial g}{\partial \phi}}_{=0} \hat{\phi} =$$

$$\underbrace{\frac{\partial}{\partial r} \left[-\frac{\mu}{4\pi} I \Delta z e^{-jkr} \left(\frac{jk}{r} + \frac{1}{r^2} \right) \cos \theta \right]}_* \hat{r} + \underbrace{\frac{1}{r} \frac{\partial}{\partial \theta} \left[-\frac{\mu}{4\pi} I \Delta z e^{-jkr} \left(\frac{jk}{r} + \frac{1}{r^2} \right) \cos \theta \right]}_{**} \hat{\theta}$$


Sostituiamo le precedenti espressioni della divergenza del potenziale vettore otteniamo:

$$*) \quad \frac{\mu}{4\pi} I \Delta z e^{-jkr} \left(-\frac{k^2}{r} + \frac{j2k}{r^2} + \frac{2}{r^3} \right) \cos \theta \hat{r}$$

$$**) \quad \frac{\mu}{4\pi} I \Delta z e^{-jkr} \left(\frac{jk}{r^2} + \frac{1}{r^3} \right) \sin \theta \hat{\theta}$$

$$\nabla(\nabla \cdot \mathbf{A}) = \frac{\mu}{4\pi} I \Delta z e^{-jkr} \left[\left(-\frac{k^2}{r} + \frac{j2k}{r^2} + \frac{2}{r^3} \right) \cos \theta \hat{r} + \left(\frac{jk}{r^2} + \frac{1}{r^3} \right) \sin \theta \hat{\theta} \right]$$

5/18



Teoria e Tecnica delle Onde Elettromagnetiche - Propagazione radiata e propagazione guidata
Prof. G. Pelosi, Laboratorio di Elettromagnetismo Numerico
Dipartimento di Elettronica e Telecomunicazioni - Università di Firenze

Lezione IV
Dipolo elettrico corto
Dal potenziale ai campi

CAMPO ELETTRICO

Riepilogando le operazioni svolte si ha:

$$\mathbf{E} = -j\omega \mathbf{A} + \frac{\nabla \nabla \cdot \mathbf{A}}{j\omega \epsilon \mu}$$


$$A_r(r, \theta) = A_z(r) \cos \theta = \left[\frac{\mu}{4\pi} \frac{I \Delta z}{r} e^{-jkr} \right] \cos \theta$$

$$A_\theta(r, \theta) = -A_z(r) \sin \theta = -\left[\frac{\mu}{4\pi} \frac{I \Delta z}{r} e^{-jkr} \right] \sin \theta$$

$$A_\phi = 0$$

$$\nabla(\nabla \cdot \mathbf{A}) = \frac{\mu}{4\pi} I \Delta z e^{-jkr} \left[\left(-\frac{k^2}{r} + \frac{j2k}{r^2} + \frac{2}{r^3} \right) \cos \theta \hat{r} + \left(\frac{jk}{r^2} + \frac{1}{r^3} \right) \sin \theta \hat{\theta} \right]$$

6/18



Teoria e Tecnica delle Onde Elettromagnetiche - Propagazione radiata e propagazione guidata
Prof. G. Pelosi, Laboratorio di Elettromagnetismo Numerico
Dipartimento di Elettronica e Telecomunicazioni - Università di Firenze

Lezione IV
Dipolo elettrico corto
Dal potenziale ai campi

TEORIA E TECNICA DELLE ONDE ELETTROMAGNETICHE
PROPAGAZIONE RADIATA E PROPAGAZIONE GUIDATA

CAMPO ELETTRICO

Il campo elettrico può essere visto secondo le sue componenti in coordinate sferiche

$$\mathbf{E}(r, \theta, \phi) = E_r \hat{r} + E_\theta \hat{\theta} + E_\phi \hat{\phi}$$

Ricordando la relazione esistente tra potenziale vettore e campo elettrico


$$\mathbf{E} = -j\omega\mathbf{A} + \frac{\nabla \nabla \cdot \mathbf{A}}{j\omega\epsilon\mu}$$

Sostituendo le espressioni viste precedentemente per il potenziale vettore si ottiene l'espressione del campo elettrico in coordinate sferiche generato da un dipolo elettrico elementare

$$\begin{cases} E_r = \zeta \frac{I \Delta z}{2\pi} \left(\frac{1}{r^2} + \frac{1}{jkr^3} \right) \cos \vartheta e^{-jkr} \\ E_\theta = \zeta \frac{I \Delta z}{4\pi} \left(\frac{jk}{r} + \frac{1}{r^2} + \frac{1}{jkr^3} \right) \sin \vartheta e^{-jkr} \\ E_\phi = 0 \end{cases}$$

Dove: $\zeta = \sqrt{\frac{\mu}{\epsilon}}$ rappresenta l'impedenza caratteristica dello spazio libero.

7/18



Teoria e Tecnica delle Onde Elettromagnetiche - Propagazione radiata e propagazione guidata
Prof. G. Pelosi, Laboratorio di Elettromagnetismo Numerico
Dipartimento di Elettronica e Telecomunicazioni - Università di Firenze

Lezione IV
Dipolo elettrico corto
Dal potenziale ai campi

TEORIA E TECNICA DELLE ONDE ELETTROMAGNETICHE
PROPAGAZIONE RADIATA E PROPAGAZIONE GUIDATA

CAMPO MAGNETICO

Ricordando la relazione esistente tra potenziale vettore e campo Magnetico \mathbf{H}

$$\mathbf{H} = \frac{1}{\mu} \nabla \times \mathbf{A}$$


e ricordando l'espressione del potenziale vettore \mathbf{A} in coordinate sferiche

$$\begin{cases} A_r(r, \theta) = A_z(r) \cos \theta = \left[\frac{\mu}{4\pi} \frac{I \Delta z}{r} e^{-jkr} \right] \cos \theta \\ A_\theta(r, \theta) = -A_z(r) \sin \theta = - \left[\frac{\mu}{4\pi} \frac{I \Delta z}{r} e^{-jkr} \right] \sin \theta \\ A_\phi = 0 \end{cases}$$

e l'espressione assunta dal rotore in coordinate sferiche,

$$\begin{aligned} \nabla \times \mathbf{A} &= \frac{1}{r \sin \theta} \underbrace{\left[\frac{\partial}{\partial \theta} (A_\phi \sin \theta) - \frac{\partial}{\partial \phi} A_\theta \right]}_{=0} \hat{r} + \frac{1}{r} \underbrace{\left[\frac{1}{\sin \theta} \frac{\partial}{\partial \phi} A_r - \frac{\partial}{\partial r} (r A_\phi) \right]}_{=0} \hat{\theta} + \frac{1}{r} \left[\frac{\partial}{\partial r} (r A_\theta) - \frac{\partial}{\partial \theta} A_r \right] \hat{\phi} = \\ &= \frac{1}{r} \left[\frac{\partial}{\partial r} (r A_\theta) - \frac{\partial}{\partial \theta} A_r \right] \hat{\phi} \end{aligned}$$

8/18



Teoria e Tecnica delle Onde Elettromagnetiche - Propagazione radiata e propagazione guidata
Prof. G. Pelosi, Laboratorio di Elettromagnetismo Numerico
Dipartimento di Elettronica e Telecomunicazioni - Università di Firenze

TEORIA E TECNICA DELLE ONDE ELETTROMAGNETICHE
PROPAGAZIONE RADIATA E PROPAGAZIONE GUIDATA

Lezione IV
Dipolo elettrico corto
Dal potenziale ai campi

CAMPO MAGNETICO

Per sostituzione si ottiene l'espressione del rotore del potenziale vettore in coordinate sferiche

$$\nabla \times \mathbf{A} = \frac{\mu I \Delta z}{4\pi} \left(\frac{jk}{r} + \frac{1}{r^2} \right) \sin \theta e^{-jkr} \hat{\phi}$$


↓

$$\mathbf{H} = \frac{1}{\mu} \nabla \times \mathbf{A} = \frac{I \Delta z}{4\pi} \left(\frac{jk}{r} + \frac{1}{r^2} \right) \sin \theta e^{-jkr} \hat{\phi}$$

↓

$$\begin{cases} H_r = 0 \\ H_\theta = 0 \\ H_\phi = \frac{I \Delta z}{4\pi} \left(\frac{jk}{r} + \frac{1}{r^2} \right) \sin \theta e^{-jkr} \end{cases}$$

9/18



Teoria e Tecnica delle Onde Elettromagnetiche - Propagazione radiata e propagazione guidata
Prof. G. Pelosi, Laboratorio di Elettromagnetismo Numerico
Dipartimento di Elettronica e Telecomunicazioni - Università di Firenze

TEORIA E TECNICA DELLE ONDE ELETTROMAGNETICHE
PROPAGAZIONE RADIATA E PROPAGAZIONE GUIDATA

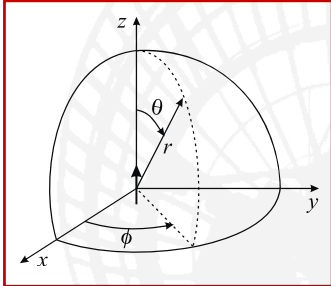
Lezione IV
Dipolo elettrico corto
Dal potenziale ai campi

CAMPO ELETTROMAGNETICO

$$\mathbf{E} = E_r \hat{r} + E_\theta \hat{\theta} + E_\phi \hat{\phi}$$

$$\mathbf{H} = H_r \hat{r} + H_\theta \hat{\theta} + H_\phi \hat{\phi}$$


$$\begin{cases} E_r = \zeta \frac{I \Delta z}{2\pi} \left(\frac{1}{r^2} + \frac{1}{jkr^3} \right) \cos \theta \exp(-jkr) \\ E_\theta = \zeta \frac{I \Delta z}{4\pi} \left(\frac{jk}{r} + \frac{1}{r^2} + \frac{1}{jkr^3} \right) \sin \theta \exp(-jkr) \\ E_\phi = 0 \\ H_r = 0 \\ H_\theta = 0 \\ H_\phi = \frac{I \Delta z}{4\pi} \left(\frac{jk}{r} + \frac{1}{r^2} \right) \sin \theta \exp(-jkr) \end{cases}$$



$$k = \omega \sqrt{\epsilon \mu} = 2\pi f \frac{1}{c} = \frac{2\pi}{\lambda}$$

Ad una distanza radiale $r_0 = \lambda/2\pi$ o analogamente ad un prodotto $kr_0 = 1$, ricordando l'espressione assunta dalla costante di propagazione $k = \omega(\epsilon\mu)^{1/2} = 2\pi f 1/c = 2\pi/\lambda$, si ha l'uguaglianza delle ampiezze dei termini all'interno delle parentesi tonde

10/18



Teoria e Tecnica delle Onde Elettromagnetiche - Propagazione radiata e propagazione guidata
Prof. G. Pelosi, Laboratorio di Elettromagnetismo Numerico
Dipartimento di Elettronica e Telecomunicazioni - Università di Firenze

TEORIA E TECNICA DELLE ONDE ELETTROMAGNETICHE

PROPAGAZIONE RADIATA E PROPAGAZIONE GUIDATA

Lezione IV

Dipolo elettrico corto

Dal potenziale ai campi

POTENZA ASSOCIATA AL CAMPO ELETTROMAGNETICO

Vettore di Poynting


$$\mathbf{S} = \frac{1}{2} \mathbf{E} \times \mathbf{H}^* = \frac{1}{2} (E_\theta H_\phi^* - E_\phi H_\theta^*) \hat{r} + \frac{1}{2} (-E_r H_\phi^* + E_\phi H_r^*) \hat{\theta} + \frac{1}{2} (E_r H_\theta^* - E_\theta H_r^*) \hat{\phi}$$

$$S_r = \zeta \frac{l^2 \Delta z^2}{32\pi^2} \sin^2 \theta \left(\frac{k^2}{r^2} - j \frac{1}{kr^5} \right)$$

$$S_\theta = \zeta \frac{l^2 \Delta z^2}{16\pi^2} \sin \theta \cos \theta \left(-j \frac{k}{r^3} - j \frac{1}{kr^5} \right)$$

$$S_\phi = 0$$

11/18



Teoria e Tecnica delle Onde Elettromagnetiche - Propagazione radiata e propagazione guidata
Prof. G. Pelosi, Laboratorio di Elettromagnetismo Numerico
Dipartimento di Elettronica e Telecomunicazioni - Università di Firenze

TEORIA E TECNICA DELLE ONDE ELETTROMAGNETICHE

PROPAGAZIONE RADIATA E PROPAGAZIONE GUIDATA

Lezione IV

Dipolo elettrico corto

Dal potenziale ai campi

POTENZA ASSOCIATA AL CAMPO ELETTROMAGNETICO

Flusso di potenza attraverso una sfera di raggio r centrata nell'origine

$$P^e = \oint_S \mathbf{S} \cdot \hat{r} ds = \int_0^{2\pi} \int_0^\pi (S_r) d\phi d\theta = \int_0^{2\pi} d\phi \left[\int_0^\pi S_r r^2 \sin \theta d\theta \right] =$$


$$= \int_0^{2\pi} d\phi \int_0^\pi \zeta \frac{l^2 \Delta z^2}{32\pi^2} \sin^2 \theta \left(\frac{k^2}{r^2} - j \frac{1}{kr^5} \right) r^2 \sin \theta d\theta =$$

$$= \underbrace{\frac{\pi}{3} \zeta |I|^2 \left(\frac{\Delta z}{\lambda} \right)^2}_{\text{Re}\{P^e\}=P_r} - \underbrace{j \frac{1}{24\pi^2} \zeta |I|^2 \left(\frac{\Delta z}{\lambda} \right)^2 \left(\frac{\lambda}{r} \right)^3}_{\text{Re}\{P^e\}=P_r}$$

$\text{Re}\{P^e\}$ è la potenza attiva radiata dal dipolo a cui contribuiscono soltanto le componenti radiative del campo, cioè quelle che decadono come $1/r$

$\text{Im}\{P^e\}$ è la potenza reattiva immagazzinata nel campo elettromagnetico a cui contribuiscono le componenti reattive del campo, cioè quelle che decadono come $1/r^2$ e come $1/r^3$

12/18



Teoria e Tecnica delle Onde Elettromagnetiche - Propagazione radiata e propagazione guidata
Prof. G. Pelosi, Laboratorio di Elettromagnetismo Numerico
Dipartimento di Elettronica e Telecomunicazioni - Università di Firenze

TEORIA E TECNICA DELLE ONDE ELETTROMAGNETICHE
PROPAGAZIONE RADIATA E PROPAGAZIONE GUIDATA

Lezione IV
Dipolo elettrico corto
Dal potenziale ai campi

RESISTENZA DI RADIAZIONE


$$P^e = \frac{\pi}{3} \zeta |\mathbf{l}|^2 \left(\frac{\Delta z}{\lambda} \right)^2 = \frac{1}{3} k^2 \zeta \frac{|\mathbf{l}|^2 \Delta z^2}{4\pi}$$

$$P_r^{(e)} = \frac{1}{3} k^2 \zeta \frac{|\mathbf{l}|^2 \Delta z^2}{4\pi} = \frac{1}{2} R_r^{(e)} |\mathbf{l}|^2$$
→

$$R_r^{(e)} = \left(\frac{\Delta z}{\lambda} \right)^2 \frac{2}{3} \pi \zeta$$

resistenza di radiazione

13/18



Teoria e Tecnica delle Onde Elettromagnetiche - Propagazione radiata e propagazione guidata
Prof. G. Pelosi, Laboratorio di Elettromagnetismo Numerico
Dipartimento di Elettronica e Telecomunicazioni - Università di Firenze

TEORIA E TECNICA DELLE ONDE ELETTROMAGNETICHE
PROPAGAZIONE RADIATA E PROPAGAZIONE GUIDATA

Lezione IV
Dipolo elettrico corto
Dal potenziale ai campi

CAMPO ELETTROMAGNETICO E DISTANZA RADIALE

$$\text{se } \left(k r_0 = 1 \text{ ovvero } r_0 = \frac{\lambda}{2\pi} \right) \Rightarrow \begin{cases} \text{Re}\{P^e\} = P_r^e = \frac{\pi}{3} \zeta |\mathbf{l}|^2 \left(\frac{\Delta z}{\lambda} \right)^2 \\ \text{Im}\{P^e\} = P_i^e = -j \frac{1}{24\pi^2} \zeta |\mathbf{l}|^2 \left(\frac{\Delta z}{\lambda} \right)^2 \left(\frac{\lambda}{r_0} \right)^3 = -j \frac{\pi}{3} \zeta |\mathbf{l}|^2 \left(\frac{\Delta z}{\lambda} \right)^2 \end{cases}$$

La potenza radiata dal dipolo e quella reattiva immagazzinata nelle sue vicinanze si uguagliano

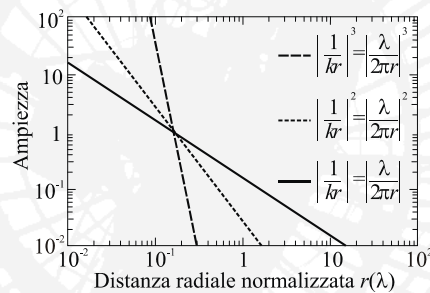
14/18



CAMPO ELETTROMAGNETICO E DISTANZA RADIALE

Per distanze $r < r_0$ ($kr < 1$) prevalgono i termini del campo elettrico e magnetico che decadono come $1/r^2$ e $1/r^3$; tali termini divengono predominanti per $r \ll r_0$ ($kr \ll 1$)

Per distanze $r > r_0$ ($kr > 1$) prevalgono i termini del campo elettrico e magnetico che decadono come $1/r$; tali termini divengono predominanti per $r \gg r_0$ ($kr \gg 1$)



15/18



CAMPO ELETTROMAGNETICO E DISTANZA RADIALE

Ai fini pratici lo spazio attorno all'antenna è qualitativamente suddivisibile in tre regioni:

- Campo vicino reattivo
- Campo vicino radiato (Fresnel)
- Campo lontano radiato (Fraunhofer)

Dipolo elettrico elementare:

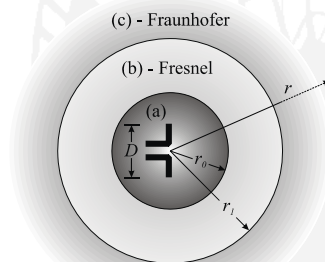
$$r_0 = \frac{\lambda}{2\pi}$$

$$r_1 = \text{non esiste}$$

Espressione generale:

$$r_0 = 0.62 \sqrt{\frac{D^3}{\lambda}}$$

$$r_1 = \frac{2D^2}{\lambda}$$



16/18



CAMPO LONTANO

Per problemi di antenna e quindi di collegamento radio siamo interessati alla propagazione delle onde elettromagnetiche a grande distanza ($r \gg r_0$ e $r \gg \lambda$)

$$\begin{cases} E_r = E_\phi = H_r = H_\theta = 0 \\ E_\theta = jk\zeta \frac{I\Delta z}{4\pi r} e^{-jkr} \sin\theta \\ H_\phi = jk \frac{I\Delta z}{4\pi r} e^{-jkr} \sin\theta = \frac{E_\theta}{\zeta} \end{cases} \quad \begin{aligned} E(r, \theta, \phi) &= E_\theta(r, \theta) \hat{\theta} \\ H(r, \theta, \phi) &= H_\phi(r, \theta) \hat{\phi} = \frac{E_\theta(r, \theta)}{\zeta} \hat{\phi} \end{aligned}$$

17/18



ESEMPIO

Telefonia mobile:

$$f = 800 \text{ MHz} \Rightarrow \lambda = 37.5 \text{ cm} \\ D \approx 10 \text{ cm}$$



$$\begin{aligned} r_0 &= 0.62 \sqrt{\frac{D^3}{\lambda}} = 0.62 \sqrt{\frac{10^3}{37.5}} \approx 3.2 \text{ cm} \\ r_1 &= \frac{2D^2}{\lambda} = \frac{2 \cdot 10^2}{37.5} \approx 5.33 \text{ cm} \end{aligned}$$

Campo lontano, $r \gg r_1$ e $r \gg \lambda$



Per $r > 375 \text{ cm}$ si può già dire di essere nelle condizioni di campo lontano



$$\begin{aligned} E(r, \theta, \phi) &= E_\theta(r, \theta) \hat{\theta} = jk\zeta \frac{I\Delta z}{4\pi r} e^{-jkr} \sin\theta \hat{\theta} \\ H(r, \theta, \phi) &= H_\phi(r, \theta) \hat{\phi} = \frac{E(r, \theta)}{\zeta} \hat{\phi} \end{aligned}$$

18/18